

ISSN 1000-0933
CN 11-2031/Q

生态学报

Acta Ecologica Sinica



第31卷 第21期 Vol.31 No.21 2011

中国生态学学会
中国科学院生态环境研究中心
科学出版社

主办
出版



中国科学院科学出版基金资助出版

生态学报 (SHENTAI XUEBAO)

第31卷 第21期 2011年11月 (半月刊)

目 次

基于景观格局理论和理想风水模式的藏族乡土聚落景观空间解析——以甘肃省迭部县扎尕那村落为例.....	史利莎, 严力蛟, 黄璐, 等 (6305)
武夷山风景名胜区景观生态安全度时空分异规律.....	游巍斌, 何东进, 巫丽芸, 等 (6317)
旅游地道路生态持续性评价——以云南省玉龙县为例	蒋依依 (6328)
城市空间形态紧凑度模型构建方法研究.....	赵景柱, 宋瑜, 石龙宇, 等 (6338)
丹顶鹤多尺度生境选择机制——以黄河三角洲自然保护区为例	曹铭昌, 刘高焕, 徐海根 (6344)
西南喀斯特区域水土流失敏感性评价及其空间分异特征.....	凡非得, 王克林, 熊鹰, 等 (6353)
流域尺度海量生态环境数据建库关键技术——以塔里木河流域为例	高凡, 闫正龙, 黄强 (6363)
雌雄异株植物鼠李的生殖分配.....	王娟, 张春雨, 赵秀海, 等 (6371)
长白山北坡不同年龄红松年表及其对气候的响应.....	王晓明, 赵秀海, 高露双, 等 (6378)
不同高寒退化草地阿尔泰针茅种群的小尺度点格局.....	赵成章, 任珩, 盛亚萍, 等 (6388)
残存银杏群落的结构及种群更新特征	杨永川, 穆建平, TANG Cindy Q, 等 (6396)
濒危植物安徽羽叶报春两种花型的繁育特性及其适应进化	邵剑文, 张文娟, 张小平 (6410)
神农架海拔梯度上4种典型森林的乔木叶片功能性状特征.....	罗璐, 申国珍, 谢宗强, 等 (6420)
不同植被恢复模式下煤矸石山复垦土壤性质及煤矸石风化物的变化特征.....	
火烧对黔中喀斯特山地马尾松林分的影响.....	王丽艳, 韩有志, 张成梁, 等 (6429)
内蒙古高原锦鸡儿属植物的形态和生理生态适应性.....	张喜, 崔迎春, 朱军, 等 (6442)
古尔班通古特沙漠西部梭梭种群退化原因的对比分析.....	马成仓, 高玉葆, 李清芳, 等 (6451)
白石砬子国家级自然保护区天然林的自然稀疏.....	司朗明, 刘彤, 刘斌, 等 (6460)
黑龙江省东完达山地区东北虎猎物种群现状及动态趋势.....	周永斌, 殷有, 殷鸣放, 等 (6469)
基于GIS的马铃薯甲虫扩散与河流关系研究——以新疆沙湾县为例	张常智, 张明海 (6481)
2010年广西兴安地区稻纵卷叶螟发生动态及迁飞轨迹分析	李超, 张智, 郭文超, 等 (6488)
B型烟粉虱对寄主转换的适应性	蒋春先, 齐会会, 孙明阳, 等 (6495)
利用PCR-DGGE方法分析不同鸡群的盲肠微生物菌群结构变化	周福才, 李传明, 顾爱祥, 等 (6505)
鸡粪改良铜尾矿对3种豆科植物生长及基质微生物量和酶活性的影响	李永洙, Yongquan Cui (6513)
铜绿微囊藻对紫外辐射的生理代谢响应	张宏, 沈章军, 阳贵德, 等 (6522)
10种常见甲藻细胞体积与细胞碳、氮含量的关系	汪燕, 李珊珊, 李建宏, 等 (6532)
冬季太湖表层底泥产毒蓝藻群落结构和种群丰度	王燕, 李瑞香, 董双林, 等 (6540)
城市机动车道颗粒污染物扩散对绿化隔离带空间结构的响应	李大命, 孔繁翔, 于洋, 等 (6551)
新疆城镇化与土地资源产出效益的空间分异及其协调性	蔺银鼎, 武小刚, 郝兴宇, 等 (6561)
山东潍坊地下水硝酸盐污染现状及 $\delta^{15}\text{N}$ 溯源	杨宇, 刘毅, 董雯, 等 (6568)
增温对宁夏引黄灌区春小麦生产的影响	徐春英, 李玉中, 李巧珍, 等 (6579)
一种估测小麦冠层氮含量的新高光谱指数	肖国举, 张强, 张峰举, 等 (6588)
黄河上游灌区稻田 N_2O 排放特征	梁亮, 杨敏华, 邓凯东, 等 (6594)
专论与综述	张惠, 杨正礼, 罗良国, 等 (6606)
植物源挥发性有机物对氮沉降响应研究展望	黄娟, 莫江明, 孔国辉, 等 (6616)
植物种群更新限制——从种子生产到幼树建成	李宁, 白冰, 鲁长虎 (6624)
研究简报	
遮荫对两个基因型玉米叶片解剖结构及光合特性的影响	杜成凤, 李潮海, 刘天学, 等 (6633)
学术信息与动态	
科学、系统与可持续性——第六届工业生态学国际大会述评	石海佳, 梁赛, 王震, 等 (6641)
期刊基本参数:CN 11-2031/Q * 1981 * m * 16 * 340 * zh * P * ¥ 70.00 * 1510 * 37 * 2011-11	



封面图说: 鹤立——丹顶鹤是世界15种鹤数量极小的一种, 主要栖息在沼泽、浅滩、芦苇塘等湿地, 以捕食小鱼虾、昆虫、蛙蚧、软体动物为主, 也吃植物的根茎、种子、嫩芽。善于奔驰飞翔, 喜欢结群生活。丹顶鹤属迁徙鸟类, 主要在我国的黑龙江、吉林、俄罗斯西伯利亚东部、朝鲜北部以及日本等地繁殖。在长江下游一带越冬。在中国文化中有“仙鹤”之说。被列为中国国家一级重点保护野生动物名录, 濒危野生动植物种国际贸易公约绝对保护的CITES附录一物种名录。

彩图提供: 陈建伟教授 国家林业局 E-mail: cites.chenjw@163.com

张常智, 张明海. 黑龙江省东完达山地区东北虎猎物种群现状及动态趋势. 生态学报, 2011, 31(21): 6481-6487.

Zhang C Z, Zhang M H. Population status and dynamic trends of Amur tiger's prey in Eastern Wandashan Mountain, Heilongjiang Province. Acta Ecologica Sinica, 2011, 31(21): 6481-6487.

黑龙江省东完达山地区东北虎猎物种群 现状及动态趋势

张常智, 张明海*

(东北林业大学野生动物资源学院, 哈尔滨 150040)

摘要: 猎物种群丰度是限制虎分布和数量的关键因子, 因此猎物种群密度监测和估算也是虎保护的重要内容之一。应用采用大样方法, 地理信息系统技术和多元统计分析, 研究了黑龙江东完达山东部地区东北虎猎物种群(马鹿、狍子和野猪)现状及动态变化趋势。结果表明: 研究地区马鹿的种群平均密度为 (0.2010 ± 0.0270) 只/ km^2 、狍子的平均种群密度为 (0.4980 ± 0.0436) 只/ km^2 、野猪的平均种群密度为 (0.3423 ± 0.0275) 只/ km^2 。单因素方差分析表明, 在相同生境下, 3 种有蹄类密度在阔叶混交林中和杂木林中差异极为显著; 不同的生境, 3 种猎物的猎物的密度也存在着显著差异。相关分析表明马鹿密度和野猪密度呈正相关, 而马鹿密度和狍子密度、狍子密度和野猪密度则不相关。同 1989 年该地区东北虎猎物种群相比: 1989—2002 年的 13 a 时间内马鹿的年平均递减率为 13.48%、狍子的年平均递减率为 12.69%、野猪的年平均递减率为 1.89%。

关键词: 东北虎; 马鹿; 狍子; 野猪; 种群密度

Population status and dynamic trends of Amur tiger's prey in Eastern Wandashan Mountain, Heilongjiang Province

ZHANG Changzhi, ZHANG Minghai*

College of Wildlife Resource, Northeast Forestry University, Harbin 150040, China

Abstract: Ungulate depletion is a major factor driving the current decline of wild Amur tiger *Panthera tigris altaica*. To conserve this globally threatened species, we should monitor their prey densities timely. It is often desirable to estimate absolute densities of prey population across large areas for effective tiger conservation and management. However, determining absolute density is complex and often controversial. Ungulates are notoriously hard to completely or partially survey using direct counts in Northeast China for rare sightings, poor visibility in dense forests, manpower and budget limit and surveyor must rely on indirect snow signs. For this reason, the line transect methods often are used to census ungulate density in winter. Several indirect sampling methods of them have been proved to be cost-effective, repeatable and objective, but other indirect counting methods are frequently unreliable and usually require independent calibration or confirmation.

On the basis of the stratification sampling principle, from January, 2002 to March, 2004, the population density status and dynamic trends of three main Amur tiger's prey species (i. e., wild boar (*Sus scrofa*), red deer (*Cervus elaphus*) and roe deer (*Capreolus pygargus*)) were investigated as a prey baseline data for tiger conservation in eastern Wanda Mountains, one of the main Amur tiger population distribution regions in northeastern China, by using Sample Plot Method recommend by experts from America, Russia and China. This survey method was conducted as follows: During a single

基金项目: 美国内政部鱼和野生动物管理局老虎与犀牛保护基金(98210-G-191)

收稿日期: 2010-08-26; 修訂日期: 2011-05-10

* 通讯作者 Corresponding author. E-mail: zhangminghai2004@126.com

day, 5 teams of fieldworkers simultaneously walked 5 parallel transects, the length of each transects is at least 5 km and the interval transects is about 500 m, within one plot to provide complete coverage. Together, we surveyed 53 plots with the total sampling areas was 557.7 km² which occupied 10.34% of the total study area (5392.65 km²) and 265 transect with total survey effort about 1325 km. Our results suggested that the highest mean population density of the three preys of Amur tiger is that of roe deer ((0.4980 ± 0.0436) individuals/km²); Second is that of wild boar ((0.3423 ± 0.0275) individuals/km²); The lowest is that of red deer ((0.2010 ± 0.0270) individuals/km²). Using one-way ANOVA, we demonstrated that the density of each ungulate species is significant different in the mixed broadleaf stand, shrubs and shaw stands. There were also significant differences in the density of three ungulate species in different habitats. Spearman Rank correlation showed that the positive correlation between the population density of red deer and wild boar existed. The mean annual decreasing ratio of red deer, roe deer and wild boar was 13.48%, 12.69% and 1.89%, respectively in this region from 1989 to 2002. Prey scarcity affects Amur tiger by decreasing the proportion of productive females, delaying the age of first reproduction, reducing litter size, increasing offspring and adult mortalities, expanding home ranges, intensifying movements and increasing the numbers of transients and dispersing individuals. Thus, recovery and effective management of ungulate populations is a prerequisite to tiger conservation in eastern Wanda Mountains. The larger decline of main prey of Amur tiger can most likely be attributed to intensive poaching that occurred and still occurred throughout the eastern Wanda Mountains. Future conservation measures should stop this.

Key Words: Amur tiger (*Panthera tigris altaica*) ; Red deer (*Cervus elaphus*) ; Roe deer (*Capreolus pygargus*) ; Wild boar (*Sus scrofa*) ; population density

东北虎(*Panthera tigris altaica*)是世界上最濒危的野生物种之一。目前在俄罗斯境内有431—529头野生东北虎^[1],而在中国境内的野生东北虎则不足20头^[2-3],且多是穿越于中俄边境地区的游荡个体,濒临灭亡^[4]。

在自然界中,捕食者种群和被食者种群的相互关系很复杂,很难用一个简单的数学模型加以概括。从营养等级的角度看,上行控制理论认为所有营养级都受其食物资源的多少所限制,下级营养级能够决定上一营养级的种群分布和数量^[5]。早期的研究^[6-8]定量的描绘了老虎及其猎物密度的正相关关系,Karanth等^[9]定量的证明了这种正相关关系,不同体型等级猎物相对密度是决定老虎等大型捕食者相对密度的关键决定因子^[9-11]。通过对印度 Mudanthurai 和 Mudumalai 这两个老虎保护区虎、豹粪便学比较研究,Uma 等^[12]认为 Mudanthurai 保护区中低密度的有蹄类可能是此保护区老虎种群减少的原因。大量研究表明,猎物种群的丰度是限制虎分布和数量的关键因子,是界定东北虎生境的关键参数^[13],有蹄类贫乏是虎生存的主要威胁之一。因此,有蹄类种群数量的恢复及对其有效的管理是保护虎的前提条件^[1,2,14-15]。

弄清野生有蹄类的数量是了解其种群结构和动态的基础,也是科学管理和合理利用的前提。由于有蹄类行动隐秘,分布范围宽阔,环境复杂。国内对野外有蹄类数量研究较少^[16-19]。东完达山是黑龙江省东北虎最具增长潜力的地区,1999年黑龙江省野生东北虎数量调查该地区东北虎数量为2—4只^[3],其保护迫在眉睫。基于此,于2002—2004年冬季开展了黑龙江省完达山地区东北虎主要猎物种群密度调查,旨在获取了中国完达山地区东部林区东北虎猎物种群的数量和密度分布信息资料,并对其进行动态趋势的研究和预测分析,以期为保护东北虎的栖息生境和猎物种群提恢复供了科学依据。

1 研究地区概况

研究地区位于黑龙江省完达山地区东部的东方红和迎春林业两个林区,基本包括整个完达山东部林区。地理坐标范围:东经132°22'—134°05',北纬45°50'—47°15',全区总面积6905.01 km²(图1)。完达山主脉略呈东北至西南走向,贯穿整个研究地区。平均坡度在10—15℃,海拔高度一般在300—500 m。该地区属寒温带,受季风影响强烈,冬季漫长,无霜期仅120 d左右,年平均1.4—2.2℃,夏季最高气温可达34.6℃,冬季最

低气温-34.8℃。该区的植被以红松(*Pinus koraiensis*)、落叶松(*Lalix olgensis*)、云杉(*Picea asperata*)、山杨(*Popunlus davidiana*)、白桦(*Betula platyphylla*)、黄蘖(*Phellodendron amurense*)等树种为主。区内栖息着猞猁(*Lynx lynx*)、棕熊(*Ursus arctos*)、黑熊(*Selenarctos thibetanus*)、紫貂(*Martes zibellina*)、东北虎(*Panthera tigris*)及其主要猎物马鹿(*Cervus elaphus*)、野猪(*Sus scrofa*)、狍(*Capreolus capreolus*)等大型哺乳动物。

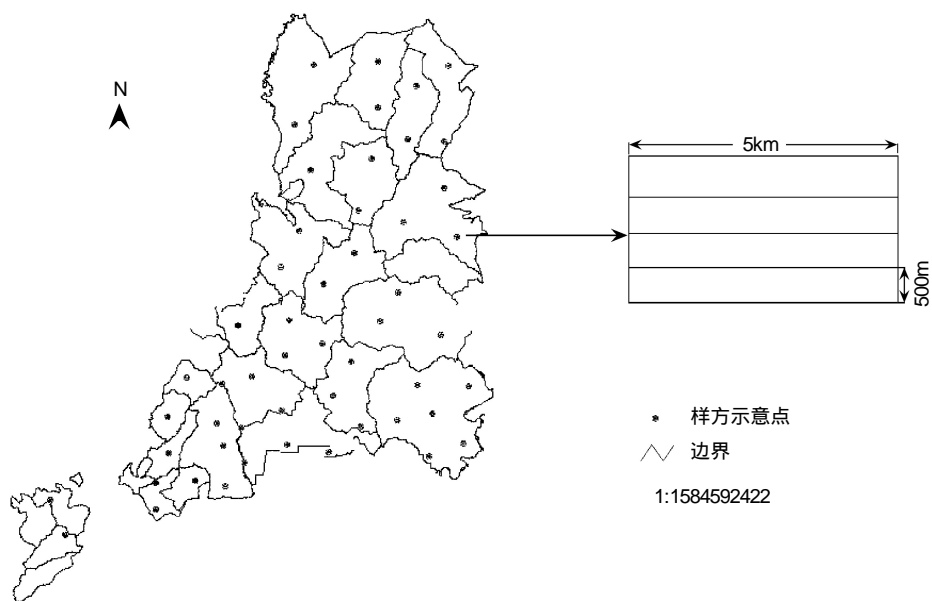


图1 研究地区及调查样方,样线设计示意图

Fig. 1 Map of Eastern Wandashan Mountains and location of field sample

2 研究方法

在东方红林业局与迎春林业局的林区根据东北虎活动的相关信息,划定一个面积约为5000 km²的区域,并确定明确的调查边界。应用中、美、俄3国专家通过探讨而达成一致意见的东亚地区有蹄类(东北虎主要猎物种群)大样方分层抽样法进行有蹄类密度调查。

2.1 样方和样线布设

在划定的区域现有林相图基础上,根据完达山地区的林分组成,结合东北虎主要猎物生境类型,把调查区划分为针阔混交林(包括针叶林)、阔叶混交林(杨桦林、水曲柳林、柞树林、椴树林等)、杂木林(皆伐迹地、火烧迹地、草甸、灌丛等)3层。并于2002年1月到2004年3月,在研究地区,据按比例分配法分层抽样^[20],在各层随机布设样方,结合可操作性、典型性、代表性的原则,共调查53个样方(包括1个实验样方,2个补充样方),抽样面积占调查总面积到达10%以上。每个调查样方由5条相距约500 m,长约5 km的样线组成(图1)。

2.2 野外数据的获取

调查期间每天07:00出发,15:30结束,调查过程中,样方中的5条样线同时同向直行。每条样线由2—3人负责,由当地向导和野外调查专业人员组成。每条样线调查过程中需记录的主要内容有:1)用GPS定位调查样线并标在1:10万的地形图上,以确定每条样线的长度。2)记录穿过样线的有蹄类(马鹿、狍、野猪)足迹链数量,确定对应的物种,记录每条足迹链穿越样线的方向,用GPS记录坐标,同时在地图上做好相应记录。本次有蹄类种群数量计算主要依据足迹链,其他的信息如粪便、卧迹等只作为参考。3)记录观察到的每条穿过样线足迹链的时间。4)确定足迹链的新鲜程度(最近的,24h或更短时间内,陈旧的)。

2.3 内业数据处理

假定调查前24h内有蹄类种群群的大小不变,基于被调查动物24h内的新鲜足迹链的数量与方向,应用以下评估标准可以根据调查线路确定每个多边形样方内的动物数量:1) 足迹大小和足迹间距(前足迹到后足

迹的距离)是否存在差异;2)一个物种中多个个体横穿线路的足迹链间相隔彼此在30 m以内,应被认为是一群动物。如果遇到一动物群留下的足迹链时,则根据动物群个体分开时的足迹链条数计算该群的个体数量;3)为了避免重复记录同一个体,应根据地形图上样方中样线上足迹链的方向结合上述的个体识别综合判定,譬如发现某一足迹链同向横向穿过多条样线时,将视为同一个体留下的足迹。

每个生境类型动物密度由该生境类型所有样方内的动物数量和实际调查面积(外层的线路形成多边形外部边界)确定,然后将各层的数据合并处理,计算得出得到整个研究区域内东北虎主要猎物密度。

1)由样方内某种有蹄类数量评估结果与样方面积,可得到样方内某种有蹄类密度,并进一步推算出各层密度均值。计算公式如下:

$$\text{样方某种有蹄类密度: } d_i = \frac{f_i}{s_i}$$

式中, d_i 为第 i 个样方某种有蹄类密度; f_i 为第 i 个样方某种有蹄类评估数量; s_i 为第 i 个样方面积。

$$\text{第 } j \text{ 层样方有蹄类的平均密度: } D_j = \frac{1}{m} \sum_{i=1}^m d_i$$

式中, D_j 为第 j 层样方平均密度; m 为第 j 层样方数量。

$$\text{第 } j \text{ 层有蹄类分布密度的置信区间: } \bar{D}_j = D_j \pm t\sigma_j / \sqrt{m - 1}$$

式中, \bar{D}_j :有蹄类分布密度的置信区间(置信概率 P 为 80%, 自由度 $f=n-1$, σ_j 为标准差, t 为 Student's 分布表的值); $\sigma_j^2 = \frac{1}{m} \sum_{i=1}^m (d_i - D_j)^2$ 。

$$2) \text{计算出每层某种有蹄类数量与估计区间: } K_j = (\bar{D}_j \pm t\sigma_j / \sqrt{m - 1}) S_j$$

式中, K_j 为第 j 层有蹄类数量; S_j 为第 j 层面积。

3)计算出调查区域某种有蹄类总体数量与估计区间

$$X = \frac{\sum_{j=1}^k D_j n_j}{n}$$

式中, X 为总体均值; n_j 为第 j 层的样本数; n 为调查样方总数量; k 为分层数。

$$\overline{\sigma^2} = \frac{\sum_{j=1}^k \sigma_j^2 N_j}{N}$$

式中, σ 为总体标准差, N 为 总体容量。

$$\mu_{\bar{X}} = \sqrt{(1 - \frac{n}{N}) \overline{\sigma^2} / n}$$

$$\Delta_{\bar{X}} = Z_{\alpha/2} \mu_{\bar{X}}$$

式中, 总体密度置信区间 $\bar{X} = X \pm \Delta_{\bar{X}}$ 。

同理计算出调查区域某种有蹄类总体数量与估计区间 $K = \bar{X}S$ 。

S 为有蹄类可获得的生境面积

4) 调查估计精度

$$P = (1 - \frac{t_a \sigma}{\sqrt{n-1}} / X) \times 100\%$$

式中, n 为调查样方总数量; X 为调查样方中有蹄类的平均密度;

3 结果

3.1 研究地区东北虎主要猎物种群数量和密度

研究地区马鹿种群平均分布密度为 (0.2010 ± 0.0270) 只/ km^2 , 种群数量估计为 (1084 ± 146) 只。其中,

置信概率 $P=80\%$; 估计精度 $P=86.57\%$ 。狍子种群平均分布密度为 (0.4980 ± 0.0436) 只/ km^2 , 种群数量估计为 (2686 ± 235) 只。其中, 置信概率 $P=80\%$; 估计精度 $P=91.25\%$ 。野猪种群平均分布密度为 (0.3423 ± 0.0275) 只/ km^2 , 种群数量估计为 (1846 ± 148) 只。其中, 置信概率 $P=80\%$; 估计精度 $P=91.97\%$ 。

3.2 3种有蹄类分布密度比较

单因素方差分析检验3种有蹄类密度在同一生境中的差异,结果表明3种有蹄类密度在针阔混交林中差异性不显著($F=2.337, P>0.05$),在阔叶混交林中差异性极其显著($F=17.978, P<0.01$),杂木林中差异也极为差异显著($F=14.449, P<0.01$);用单因素方差分析检验不同生境对3种有蹄类密度的差异,结果表明生境因子对马鹿($F=41850, P < 0.05$)、狍子($F=41191, P < 0.05$)和野猪($F = 51765, P < 0.05$)密度影响显著。在研究地区,3种有蹄类的相互联系,相关分析表明马鹿密度和野猪密度呈正相关($r_s=0.507, P < 0.01$),而马鹿密度和狍子密度($r_s=0.251 P>0.05$)、狍子密度和野猪密度($r_s=0.115, P>0.05$)不相关。

3.3 东北虎猎物种群数量变化动态趋势分析

该地区1989年的调查结果为马鹿密度为1.0516只/ km^2 ;狍密度为2.5933只/ km^2 ;野猪的密度为0.4005只/ km^2 ^[21],与本次调查研究地区的结果相比,按内禀增长率公式 $N_t = N_0 e^t$ 计算,从1989年至2002年的13 a 中马鹿密度年平均递减率为13.48%;狍的年平均递减率为12.69%;野猪的年平均递减率为1.89%。

4 讨论

由于野生有蹄类警惕性强,对人类活动及其敏感,导致调查中很少发现动物实体,通常都是利用间接指标,诸如足迹、粪便、卧迹等来代替动物实体开展调查^[22]。由于足迹比卧迹、食痕和粪便更易被发现,对于大多数北方地区而言,人们利用雪被这一天然条件,用雪地上的动物足迹作为间接指标,来间接估算有蹄类密度。

样带法是我国东北地区常用的有蹄类调查方法之一,样带调查误差来源主要可以从样带的宽度,换算系数的准确性,对总体抽样是否有代表性等方面。不同的调查对象,不同的生境条件样带宽度不同。实际调查过程中有很多调查队员不知道有宽度这一概念,宽度常由专家主观规定,缺乏专家规定宽度适宜性依据,也缺少在实践中加以检验的材料为辅证。样带调查中,宽度的确定主要以景观的透视度和被调查动物的辨认程度为准。实际记录足迹链宽度范围内的足迹数量,而计算时只以透视度(往往远小于足迹链宽度)来计算密度,这就是产生密度偏高的主要原因^[23]。朴仁珠等^[23]采用足迹链宽度作为样带宽度,用一条样带调查大型有蹄类足迹链宽度内的有蹄类密度在理论上会产生遗漏。实体与间接指标间的换算系数,即确定在一定时间内动物实体能产生多少间接指标,两者之比即为换算系数。虽然朴仁珠等^[23]通过反向跟踪清晰的足迹链,根据所发现相邻两夜的卧迹来确定这一动物的一昼夜活动轨迹。将其置于坐标轴,并转动坐标多次。根据交点数或落入调查样线一定宽度范围内的数量,确定每条足迹链与样线相交的平均次数作为换算系数。但实际上这一系数即使同一动物在不同地区,不同时期,甚至不同性别,其个体间均有差异,操作起来较为麻烦,有待深入研究。大样方法通过在足迹链宽度范围内(有蹄类家域内)布设多条样线,把在足迹链宽度范围内产生遗漏的几率减低到可以忽略的程度。同时在一个大洋方上的多条样线上根据专业知识与经验直接排除可能是重复的足迹链,以一条足迹链相对于一头动物(即换算系数为一)统计路线样本上出现的动物数,并根据样本面积,调查样线长度乘以宽度,推算动物在整个动物栖息范围内的数量。避免了繁杂的换算系数。然而是否一个样方需要5条样线,更少的样线是否就可以达到以上目的值得商榷。此外,本次调查采用多层次抽样方法,增加了精确性(减少变异)和提高样方设计中单位劳动获得的信息量,从而更能代表整个调查区域的有蹄类分布和密度。

东北虎的主要捕食对象为野猪、马鹿、狍子、梅花鹿等大型有蹄类动物。成年东北虎每周要捕食相当于一个大型有蹄类猎物的等值食物量^[24]。对于哺育幼虎的母虎来说,可能捕食的等值食物量会更高。当有蹄类数量低,老虎就不得不采取游牧性的生活方式生存,并可能会靠捕杀家养牲畜以求生存。在有足够的猎物数量的情况下,雌虎才能找到有足够的猎物密度的地区来繁殖幼崽,建立永久性的家域,而雄虎也会很快定居下来。

因此,增加猎物密度的管理活动将会成为任何一个恢复老虎种群的重要部分。排除调查方法所导致的偏差(1989年用的是样带调查法),调查结果显示东北虎猎物种群数量一直处于急剧下降的趋势:马鹿和狍数量的年递减率都超过10%;野猪的数量也呈下降趋。虽然,狍和马鹿的繁殖和适应能力比较强,但其数量的巨大波动也将会引起种群管理者的注意,应及时地采取保护措施抑制东北虎的猎物种群数量下降的趋势,满足东北虎的生存活动的猎物需求。

造成有蹄类种群数量下降的原因有很多方面,首先是有蹄类栖息地的丧失、片段化和破碎化以及生境质量的降低。受长期森林采伐活动影响,原始植被类型不断被破坏,东北虎的主要猎物马鹿、狍、野猪的栖息地被不断被侵占或分化隔离,此外采石、挖沙、开矿、采摘山产品等十分频繁社会经济活动进一步干扰有蹄类动物的正常栖息活动,不断导致有蹄类等野生动物适宜生境的丧失和破碎。另外随着森林采伐等经济活动的不断发展,进入林区的人口不断增加,居民点房屋的建筑面积不断扩大,不断侵占野生动物栖息活动的林地。而且,各种类型的交通道路也不断建设起来,修筑的公路导致破坏大面积的野生动物栖息地,同时致使一部分有蹄类动物的原始栖息地破碎和隔离^[25]。由于居民点和道路的人为活动对有蹄类动物的间接影响,这些基础设施的建设又导致了森林景观生态功能的丧失,从而致使有蹄类动物生境的进一步破碎化。其次为了获得食物、商品和药物,人民大量捕猎东北虎的主要猎物。从20世纪80年代以来,持有枪支成为非法行为。不幸的是,套子和最新出现的投毒成为最普遍且方便的盗猎有蹄类动物的方式^[26]。套子不仅可以猎杀有蹄类同时也可以对老虎造成致命性伤害。投毒是一种新的正在发展的威胁,当地村民将氯化物喷洒在有蹄类食用的树叶野生植被上以毒杀有蹄类,从而对恢复有蹄类种群数量产生了新的严重威胁,致使有蹄类动物种群密度下降。再次,对森林的采伐和对植被的破坏、山产品采集,特别是对有蹄类食物主要过冬食物譬如红松籽,榛子,核桃楸,橡子等坚果的收集、以及一些放牧行为:家畜食草同野生鹿类形成资源竞争造成有蹄类食物短缺,从而导致蹄类密度减少。最后,东北虎的捕食可能是导致东北虎主要猎物种群数量下降的又一因素。

致谢:崔多英博士、姜广顺博士、肖朝庭博士、刘振生博士和李言阔博士给予大力支持,特此致谢。

References:

- [1] Matyushkin E N, Pikunov D G, Dunishenko Y M, Miquelle D G, Nikolaev I G, Smirnov E N, Salkina G P, Abramov V K, Bazylnikov V I, Yudin V G, Korkishko V G. Numbers, distribution and habitat status of the Amur tiger in the Russian Far East: "Express-report". Final report to the USAID Russian Far East Environmental Policy and Technology Project, 1996: 25-25
- [2] Li T, Jiang J S, Wu Z G, Han X D, Wu J C, Yang X J. Survey on Amur tigers in Jilin Province. *Acta Theriologica Sinica*, 2001, 21(1): 1-6
- [3] Yu X C, Sun B G, Sun H Y, Guan G S, Zhou X B. Population distribution and abundance of Amur tiger in Heilongjiang Province. *Chinese Journal of Wildlife*, 2000, (2): 14-16.
- [4] Sun B G, Zhang E D, Miquelle D. Siberian tigers on brink of extinction in China. *Cat News*, 1999, 31: 2.
- [5] Sun R Y. Ecological Principle of Wildlife. 3rd ed. Beijing: Beijing Normal University Press, 2001: 456-456.
- [6] Schaller G. The Deer and the Tiger. Chicago: University of Chicago Press, 1967.
- [7] Sunquist M E. The social organization of tigers (*Panthera tigris*) in Royal Chitawan National Park, Nepal. *Smithsonian Contribution to Zoology*, 1981, 336: 1-98.
- [8] Seidensticker J, McDougal C. Tiger predatory behaviour, ecology and conservation. *Symposium of the Zoological Society of London*, 1993, 65: 105-125.
- [9] Karanth K U. Estimating tiger *Panthera tigris* populations from camera-trap data using capture-recapture models. *Biological Conservation*, 1995, 71 (3): 333-338.
- [10] Miquelle D G, Smirnov E N, Quigley H G, Hornocker M G, Nikolaev I G, Matyushkin E N. Food habitat of Amur tiger in Sikhote-Alin Zapovednik and the Russian Far East, and implication for conservation. *Journal of Wildlife Research*, 1996, 1(2): 138-147.
- [11] Karanth K U, Nichols J D. Estimation of tiger densities in India using photographic captures and recaptures. *Ecology*, 1998, 79(8): 2852-2862.
- [12] Uma R, Richard G C, Neil W P. Tiger decline caused by the reduction of larger ungulate prey: evidence from a study of leopard diets in southern India. *Biological Conservation*, 1999, 89(2): 113-120
- [13] Miquelle D G, Merrill W T, Dunishenko Y M, Smirnov E N, Quigley H B, Pikunov D G, Hornocker M G. A habitat protection plan for the Amur tiger: developing political and ecological criteria for a viable land-use plan // Seidensticker J, Christie S, Jackson P, eds. *Riding the Tiger*:

- Meeting the Needs of People and Wildlife in Asia. Cambridge: Cambridge University Press, 1999: 273-295.
- [14] He J F, Yu X C, Shi Y M. Historical change of population distribution region and population dynamic of Amur tiger. *Forestry Science and Technology*, 1997, 22(1): 28-30.
- [15] Karanth U K, Stith B M. Prey depletion as a critical determinant of tiger population viability// Seidensticker J, Christie S, Jackson P, eds. *Riding the Tiger*. Cambridge: Cambridge University Press, 1999: 100-113.
- [16] Tang J R, Xu H F, Xu Z Q. Comments on the deer population survey methods. *Acta Theriologica Sinica*, 2001, 21(3): 221-230.
- [17] Gao J H, Lu X X, Zhang Y H, Liu J, Huang S H. Snow-land feature of roe deer and the application in population investigation. *Acta Theriologica Sinica*, 1995, 15(2): 155-156.
- [18] Xu Q X, Zhang M H, Lu B X. Study on the Status of red deer population in heilongjiang province. *Journal of Economic Animal*, 2000, 4(1): 57-62.
- [19] Zhang Y L, Li G C, Tian J L. Population status and habitat selection of wild boar in Heilongjiang Province. *Quarterly of Forest By-Product and Speciality in China*, 2003, (1): 19-20.
- [20] Tong J. Sample survey (IV) stratification sample. *Application of Statistics and Management*, 1987, (4): 35-48.
- [21] Feng K M, Zhang M H, Zhao J M. *Wildlife Conservation and Management Scheme of Dongfanghong Forestry Bureau*. Harbin: Heilongjiang Forestry Industry Bureau Press, 1989.
- [22] Eduardo C, Grace W, Alferdo D C. Monitoring mammal populations in Costa Rican Protected Areas under different hunting restrictions. *Conservation Biology*, 2000, 14(6): 1580-1591.
- [23] Piao R Z, Guan G S, Zhang M H. Population size and distribution of Moose in China. *Acta Theriologica Sinica*, 1995, 15(1): 11-16.
- [24] Karanth K U, Nichols J D, Kumar N S, Link W A, Hine S J E. Tigers and their prey: predicting carnivore densities from prey abundance. *Proceedings of the National Academy of Sciences of the USA*, 2004, 101(14): 4854-4858.
- [25] Jiang G S, Zhang M H, Ma J Z. The fragmentation and impact factors of red deer habitat in Wandashan region, Heilongjiang Province, China. *Acta Ecologica Sinica*, 2005, 25(7): 1691-1698.
- [26] Liu Q X, Ma J Z, Xie X C, Zhang M H. Impacts of poaching on Wapiti population in Eastern Wanda Mountain, Heilongjiang. *Chinese Journal of Wildlife*, 2007, 28(2): 7-10.

参考文献:

- [2] 李彤,蒋劲松,吴志刚,韩晓东,吴景才,杨兴家.吉林省东北虎的调查. *兽类学报*, 2001, 21(1): 1-6
- [3] 于孝臣,孙宝刚,孙海义,关国生,周宣宾. 黑龙江省东北虎的分布和种群数量. *野生动物*, 2000, (2): 14-16.
- [5] 孙儒泳. 动物生态学原理(第3版). 北京:北京师范大学出版社, 2001: 456-456.
- [14] 郝俊峰,于孝臣,史玉明. 东北虎分布区的历史变迁及种群变动. *林业科技*, 1997, 22 (1): 28-30.
- [16] 唐继荣,徐宏发,徐正强. 鹿类动物数量调查方法探讨. *兽类学报*, 2001, 21(3): 221-230.
- [17] 高继宏,吕小雪,张雁辉,刘健,黄守华. 泡雪地痕迹特征及在数量调查中的应用. *兽类学报*, 1995, 15(2): 155-156.
- [18] 许庆翔,张明海,路秉信. 黑龙江省野生马鹿种群资源现状研究. *经济动物学报*, 2000, 4(1): 57-62.
- [19] 张永录,李贵臣,田家龙. 黑龙江省野猪种群现状及其生境选择的研究. *中国林副特产*, 2003, (1): 19-20.
- [20] 彤季. 抽样调查(IV) 第三讲 分层抽样(续). *数理统计与管理*, 1987, (4): 35-48.
- [21] 冯科民,张明海,赵君明. 东方红林业局野生动物保护和经营方案. 哈尔滨:黑龙江省森工总局出版社, 1989.
- [23] 朴仁珠,关国生,张明海. 中国驼鹿种群数量及分布现状的研究. *兽类学报*, 1995, 15(1): 11-16.
- [25] 姜广顺,张明海,马建章. 黑龙江省完达山地区马鹿生境破碎化及其影响因子. *生态学报*, 2005, 25(7): 1691-1698.
- [26] 刘群秀,马建章,谢绪昌,张明海. 黑龙江完达山东部林区偷猎对野生马鹿种群的影响. *野生动物*, 2007, 28(2): 7-10.

ACTA ECOLOGICA SINICA Vol. 31, No. 21 November, 2011 (Semimonthly)

CONTENTS

Landscape spatial analysis of a traditional tibetan settlement based on landscape pattern theory and feng-shui theory: the case of Zhagana, Diebu, Gansu Province	SHI Lisha, YAN Lijiao, HUANG Lu, et al (6305)
Temporal-spatial differentiation and its change in the landscape ecological security of Wuyishan Scenery District	YOU Weibin, HE Dongjin, WU Liyun, et al (6317)
Evaluation of eco-sustainability of roads in a tourism area: a case study within Yulong County	JIANG Yiyi (6328)
Study on the compactness assessment model of urban spatial form	ZHAO Jingzhu, SONG Yu, SHI Longyu, et al (6338)
A multi-scale analysis of red-crowned crane's habitat selection at the Yellow River Delta Nature Reserve, Shandong, China	CAO Mingchang, LIU Gaohuan, XU Haigen (6344)
Assessment and spatial distribution of water and soil loss in karst regions, southwest China	FAN Feide, WANG Kelin, XIONG Ying, et al (6353)
Construction of an eco-environmental database for watershed-scale data: an example from the Tarim River Basin	GAO Fan, YAN Zhenglong, HUANG Qiang (6363)
Reproductive allocation in dioecious shrub, <i>Rhamnus davurica</i>	WANG Juan, ZHANG Chunyu, ZHAO Xiupei, et al (6371)
Age-dependent growth responses of <i>Pinus koraiensis</i> to climate in the north slope of Changbai Mountain, North-Eastern China	WANG Xiaoming, ZHAO Xiupei, GAO Lushuang, et al (6378)
Fine-scale spatial point patterns of <i>Stipa krylovii</i> population in different alpine degraded grasslands	ZHAO Chengzhang, REN Heng, SHENG Yaping, et al (6388)
Community structure and population regeneration in remnant <i>Ginkgo biloba</i> stands	YANG Yongchuan, MU Jianping, TANG Cindy Q., et al (6396)
Reproductive characteristics and adaptive evolution of pin and thrum flowers in endangered species, <i>Primula merrilliana</i>	SHAO Jianwen, ZHANG Wenjuan, ZHANG Xiaoping (6410)
Leaf functional traits of four typical forests along the altitudinal gradients in Mt. Shennongjia	LUO Lu, SHEN Guozhen, XIE Zongqiang, et al (6420)
Reclaimed soil properties and weathered gangue change characteristics under various vegetation types on gangue pile	WANG Liyan, HAN Youzhi, ZHANG Chengliang, et al (6429)
Influence of fire on stands of <i>Pinus massoniana</i> in a karst mountain area of central Guizhou province	ZHANG Xi, CHUI Yingchun, ZHU Jun, et al (6442)
Morphological and physiological adaptation of <i>Caragana</i> species in the Inner Mongolia Plateau	MA Chengcang, GAO Yubao, LI Qingfang, et al (6451)
A comparative study on reasons of degenerated of <i>Haloxylon ammodendron</i> population in the western part of Gurbantunggut desert	SI Langming, LIU Tong, LIU Bin, et al (6460)
Self-thinning of natural broadleaved forests in Baishilazi Nature Reserve	ZHOU Yongbin, YIN You, YIN Mingfang, et al (6469)
Population status and dynamic trends of Amur tiger's prey in Eastern Wandashan Mountain, Heilongjiang Province	ZHANG Changzhi, ZHANG Minghai (6481)
The relationship between the occurrence of Colorado Potato Beetle, <i>Leptinotarsa decemlineata</i> , and rivers based on GIS: a case study of Shawan Country	LI Chao, ZHANG Zhi, GUO Wenchao, et al (6488)
Occurrence dynamics and trajectory analysis of <i>Cnaphalocrois medinalis</i> Guenée in Xing'an Guangxi Municipality in 2010	JIANG Chunxian, QI Huihui, SUN Mingyang, et al (6495)
Adaptability of B-biotype <i>Bemisia tabaci</i> (Gennadius) to Host Shift	ZHOU Fucai, LI Chuanning, GU Aixiang, et al (6505)
Structural change analysis of cecal bacterial flora in different poultry breeds using PCR-DGGE	LI Yongzhu, Yongquan Cui (6513)
Effect of chicken manure-amended copper mine tailings on growth of three leguminous species, soil microbial biomass and enzyme activities	ZHANG Hong, SHEN Zhangjun, YANG Guide, et al (6522)
Physiological response of <i>Microcystis</i> to solar UV radiation	WANG Yan, LI Shanshan, LI Jianhong, et al (6532)
Relationship between cell volume and cell carbon and cell nitrogen for ten common dinoflagellates	WANG Yan, LI Ruixiang, DONG Shuanglin, et al (6540)
The community structure and abundance of microcystin-producing cyanobacteria in surface sediment of Lake Taihu in winter	LI Daming, KONG Fanxiang, YU Yang, et al (6551)
Influence of green belt structure on the dispersion of particle pollutants in street canyons	LIN Yinding, WU Xiaogang, HAO Xingyu, et al (6561)
Spatio-temporal variation analysis of urbanization and land use benefit of oasis urban areas in Xinjiang	YANG Yu, LIU Yi, DONG Wen, et al (6568)
Nitrate contamination and source tracing from NO_3^- - $\delta^{15}\text{N}$ in groundwater in Weifang, Shandong Province	XU Chunying, LI Yuzhong, LI Qiaozhen, et al (6579)
The impact of rising temperature on spring wheat production in the Yellow River irrigation region of Ningxia	XIAO Guojun, ZHANG Qiang, ZHANG Fengju, et al (6588)
A new hyperspectral index for the estimation of nitrogen contents of wheat canopy	LIANG Liang, YANG Minhua, DENG Kaidong, et al (6594)
The feature of N_2O emission from a paddy field in irrigation area of the Yellow River	ZHANG Hui, YANG Zhengli, LUO Liangguo, et al (6606)
Review and Monograph	
Research perspective for the effects of nitrogen deposition on biogenic volatile organic compounds	HUANG Juan, MO Jiangming, KONG Guohui, et al (6616)
Recruitment limitation of plant population: from seed production to sapling establishment	LI Ning, BAI Bing, LU Changhu (6624)
Scientific Note	
Response of anatomical structure and photosynthetic characteristics to low light stress in leaves of different maize genotypes	DU Chengfeng, LI Chaohai, LIU Tianxue, et al (6633)

2009 年度生物学科总被引频次和影响因子前 10 名期刊*

(源于 2010 年版 CSTPCD 数据库)

排序 Order	期刊 Journal	总被引频次 Total citation	排序 Order	期刊 Journal	影响因子 Impact factor
1	生态学报	11764	1	生态学报	1.812
2	应用生态学报	9430	2	植物生态学报	1.771
3	植物生态学报	4384	3	应用生态学报	1.733
4	西北植物学报	4177	4	生物多样性	1.553
5	生态学杂志	4048	5	生态学杂志	1.396
6	植物生理学通讯	3362	6	西北植物学报	0.986
7	JOURNAL OF INTEGRATIVE PLANT BIOLOGY	3327	7	兽类学报	0.894
8	MOLECULAR PLANT	1788	8	CELL RESEARCH	0.873
9	水生生物学报	1773	9	植物学报	0.841
10	遗传学报	1667	10	植物研究	0.809

*《生态学报》2009 年在核心版的 1964 种科技期刊排序中总被引频次 11764 次, 全国排名第 1; 影响因子 1.812, 全国排名第 14; 第 1—9 届连续 9 年入围中国百种杰出学术期刊; 中国精品科技期刊

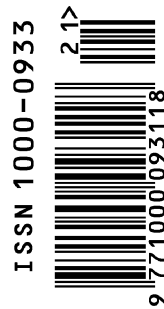
编辑部主任 孔红梅

执行编辑 刘天星 段 靖

生态学报
(SHENGTAI XUEBAO)
(半月刊 1981 年 3 月创刊)
第 31 卷 第 21 期 (2011 年 11 月)

ACTA ECOLOGICA SINICA
(Semimonthly, Started in 1981)
Vol. 31 No. 21 2011

编 辑	《生态学报》编辑部 地址: 北京海淀区双清路 18 号 邮政编码: 100085 电话: (010) 62941099 www. ecologica. cn shengtaixuebao@ rcees. ac. cn	Edited by Editorial board of ACTA ECOLOGICA SINICA Add: 18, Shuangqing Street, Haidian, Beijing 100085, China Tel: (010) 62941099 www. ecologica. cn Shengtaixuebao@ rcees. ac. cn
主 编	冯宗炜	Editor-in-chief FENG Zong-Wei
主 管	中国科学技术协会	Supervised by China Association for Science and Technology
主 办	中国生态学学会 中国科学院生态环境研究中心 地址: 北京海淀区双清路 18 号 邮政编码: 100085	Sponsored by Ecological Society of China Research Center for Eco-environmental Sciences, CAS Add: 18, Shuangqing Street, Haidian, Beijing 100085, China
出 版	科学出版社 地址: 北京东黄城根北街 16 号 邮政编码: 100717	Published by Science Press Add: 16 Donghuangchenggen North Street, Beijing 100717, China
印 刷	北京北林印刷厂	Printed by Beijing Bei Lin Printing House, Beijing 100083, China
发 行	科学出版社 地址: 东黄城根北街 16 号 邮政编码: 100717 电话: (010) 64034563 E-mail: journal@ cspg. net	Distributed by Science Press Add: 16 Donghuangchenggen North Street, Beijing 100717, China Tel: (010) 64034563 E-mail: journal@ cspg. net
订 购	全国各地邮局	Domestic All Local Post Offices in China
国外发行	中国国际图书贸易总公司 地址: 北京 399 信箱 邮政编码: 100044	Foreign China International Book Trading Corporation Add: P. O. Box 399 Beijing 100044, China
广告经营 许 可 证	京海工商广字第 8013 号	



ISSN 1000-0933
CN 11-2031/Q

国内外公开发行

国内邮发代号 82-7

国外发行代号 M670

定价 70.00 元